



Original Research Paper

Light and scanning electron microscopic study of the tongue in the Bali myna (*Leucopsar rothschildi*)

Ali Parchami *, **Mehdi Salimi**

Department of Basic Sciences, Faculty of Veterinary Medicine, Shahrekord University, Shahrekord, Iran

Key Words

Tongue
Light microscopy
Electron microscopy
Bali myna
Salivary glands
Shahrekord

Abstract

Introduction: The aim of the present study was to investigate the light and electron microscopic structure of the tongue in the Bali myna (*Leucopsar rothschildi*).

Materials & Methods: 6 adult Bali myna (3 males and 3 females) were used in the present study. Tissue samples from the apex, body and root of the tongue were stained with hematoxylin and eosin (H&E) and periodic acid Schiff (PAS) and studied using light microscopy. For scanning electron microscopic studies of the lingual surface, the fixed samples were rinsed with 0.1M phosphate buffer. Postfixation was made in 1% sodium tetroxide solution for two hours at 4°C. After dehydration through ethanol and infiltration by hexamethyl disilazin, the dried specimen was mounted on aluminum stabs and coated with gold-palladium. The specimens were observed at various angles under a scanning electron microscope.

Results: The tongue in Bali myna has an elongated structure and is wide and triangular in the posterior part. Three parts are distinguished in the dorsal surface of the tongue: the apex, the body and the root. The surface of the organ does not have a median groove. A large number of needle-shaped processes with equal size and high density are located on both sides of the apex and anterior part of the body of the tongue. Large caudally directed conical papillae with a V-shaped arrangement are found between the body and the root of the organ. The surface of the tongue has no gustatory and lingual papillae. At electron microscopic level, fine micro-grooves can be seen on the surface of the root of the organ. Salivary gland pores are clearly found on the dorsal surface of the lingual root. The surface of the tongue is lined with keratinized stratified squamous epithelium in the apex and body of the organ, and with non-keratinized stratified squamous epithelium in the root region. A unique feature of the lingual structure in the Bali myna is that the tubuloalveolar PAS-positive salivary glands are found only in the root of the organ, and lingual salivary glands are not present in the apex and body of the organ. Morphological and morphometric features of the tongue do not show any sexual dimorphism.

Conclusion: Overall, the results showed that the tissue structure of the tongue in Bali myna is similar to birds such as white-tailed eagles, geese, owls, ostriches and woodpeckers and has specific characteristics in the region of the apex and the distribution of salivary glands.

* Corresponding Author's email: parchami413@yahoo.com

Received: 23 September 2022; Reviewed: 25 October 2022; Revised: 25 December 2022; Accepted: 25 January 2023
(DOI): [10.22034/AEJ.2023.365520.2897](https://doi.org/10.22034/AEJ.2023.365520.2897)

مقاله پژوهشی

بررسی ساختار بافتی زبان در مرغ مینا (*Leucopsar rothschildi*) در سطح میکروسکوپ نوری و میکروسکوپ الکترونی پویشی

علی پرچمی^{*}، مهدی سلیمانی

گروه علوم پایه دانشکده دامپزشکی، دانشگاه شهرکرد، شهرکرد، ایران

چکیده

کلمات کلیدی

زبان

میکروسکوپ نوری

میکروسکوپ الکترونی پویشی

مرغ مینا

غدد بزاقی

شهرکرد

مقدمه: هدف از پژوهش حاضر بررسی ساختار بافتی زبان در سطح میکروسکوپ نوری و میکروسکوپ الکترونی پویشی در مرغ مینا (*Leucopsar rothschildi*) بود.

مواد و روش‌ها: ۶ مرغ مینای بالغ (۳ نر و ۳ ماده) در پژوهش حاضر مورد استفاده قرار گرفتند. نمونه‌های بافتی از نواحی رأس، بدنه و ریشه زبان با رنگ‌آمیزی هماتوکسیلین و ائوزین (H&E) و پریودیک اسید شیف (PAS) رنگ‌آمیزی شده و با استفاده از میکروسکوپ نوری مورد مطالعه قرار گرفتند. جهت مطالعه سطح زبان با میکروسکوپ الکترونی پویشی، نمونه‌های تثیت شده با فسفات بافر ۰/۱ مولار، شست و شو داده شدند. تثیت ثانویه با محلول تراکسید سدیم ۱ درصد به مدت ۲ ساعت در دمای ۴ درجه سانتی گراد صورت گرفت. پس از آبگیری با اتانول و ارتراح بهوسیله هگزامتیل دیسیلازین، نمونه‌های خشک شده بر پایک‌های آلومینیومی سوار شده و با طلا-پالادیوم پوشش داده شدند. سپس نمونه‌ها از زوایای گوناگون زیر میکروسکوپ الکترونی پویشی مورد مطالعه قرار گرفتند.

نتایج: زبان در مرغ مینا از ساختاری کشیده برخوردار بوده و در بخش خلفی، پهن و مثلثی شکل است. در سطح پشتی اندام سه بخش رأس، بدنه و ریشه را می‌توان بازشناخت. سطح زبان فاقد شیار میانی است. شمار زیادی زایده سوزنی شکل با اندازه‌های برابر و با تراکم بالا مماس بر دو سوی رأس و بخش قدامی بدنه زبان جای گرفته‌اند. پرزهای محروم‌طبعی شکل بزرگ با آرایشی ۷ مانند و با سوده‌ی خلفی در مرز بدنه و ریشه اندام یافت می‌شوند. سطح زبان فاقد پرز چشایی و پرز زبانی است. ریزشیارهای ظریف در سطح میکروسکوپ الکترونی بر سطح ریشه اندام دیده می‌شوند. منافذ غدد بزاقی آشکارا روی سطح پشتی ریشه اندام جای گرفته‌اند. سطح زبان در ناحیه رأس و بدنه اندام با اپیتلیوم سنگفرشی مطبق شاخی و در ناحیه ریشه با اپیتلیوم سنگفرشی مطبق غیرشاخی مفروش شده است. ویژگی منحصر به فرد زبان در مرغ مینا این است که غدد بزاقی زبانی لوله‌ای آلتوئولی PAS مثبت تها در ریشه اندام وجود داشته و رأس و بدنه زبان فاقد غدد بزاقی است. ویژگی‌های ریخت‌شناختی و ابعاد زبان در دو جنس تفاوتی نشان نمی‌دهند.

بحث و نتیجه‌گیری: درمجموع، نتایج نشان داد که ساختار بافتی زبان در مرغ مینا به پرندگانی همچون عقاب دم‌سفید، قره‌غاز، جعد، شترمرغ و دارکوب شباهت داشته و در ناحیه رأس و توزیع غدد بزاقی دارای ویژگی‌های اختصاصی است.

مقدمه

از میکروتوم به ضخامت ۷ میکرومتر با رنگ‌آمیزی هماتوکسیلین و اوزین (H&E) و پریودیک اسید شیف (PAS) رنگ‌آمیزی شدن. نمونه‌های بافتی رنگ‌آمیزی شده با استفاده از میکروسکوپ نوری (ZEISS) مورد مطالعه قرار گرفتند. جهت بررسی ساختار بافتی سطح زبان بهوسیله میکروسکوپ الکترونی پویشی (SEM) نمونه‌های بافتی از نواحی رأس، بدن و ریشه اندام ابتدا با فسفات بافر ۱/۰ مولار در pH=۷/۳ شست و شوشه و سپس به مدت ۲ ساعت در محلول تتراساید سدیم ۱ درصد در دمای ۴ درجه سانتی گراد غوطه‌ور شدند. پس از آبگیری با عبور ادنام نمونه‌ها از مجموعه‌ای از ظروف حاوی اتانول با غلظت‌های افزایش‌یابنده و ارتشاح با هگزامتیل دیسیلازین (hexamethyl disilazin) نمونه‌های آبگیری شده بر پایکهای آلومینیومی ویژه استقرار در مخزن میکروسکوپ الکترونی پویشی سوار شده و حدود ۲۰ ثانیه با طلا-پالادینوم پوشش داده شدند. سپس نمونه‌ها از زوایای گوناگون بهوسیله میکروسکوپ الکترونی (stereoscan 360, Leica images, Cambridge Ltd., England) مورد مطالعه قرار گرفتند. مقیاس‌ها به صورت خودکار بهوسیله میکروسکوپ بر سطح نمایش گر ثبت می‌شد (۴).

نتایج

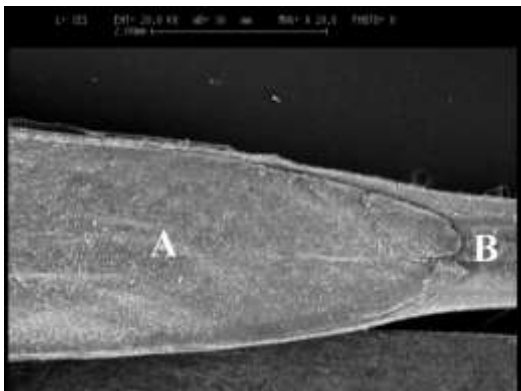
زبان در مرغ مینای بالغ از ساختاری کشیده برخوردار بوده و در بخش خلفی، پهنه و مثلثی شکل بود در سطح پشتی اندام، سه بخش رأس، بدن و ریشه بازشناخته می‌شد (شکل ۶). سطح پشتی اندام در هر سه ناحیه آناتومیکی مورد مطالعه فاقد شیار میانی آشکار بود (شکل ۳). شمار زیادی زایده سوزنی شکل با تراکم بالا در دو سوی بخش قدامی رأس زبان وجود داشت. این زاید از اندازه‌ای بهنسبت برابر برخوردار بوده، جهت‌گیری قدامی داشته و بر سطح زبان مماس بودند (شکل ۱). در دو سوی زبان در سطح جانبی اندام بین زاید یاد شده و بدن زبان شیاری طولی وجود داشت که مرز میانی زاید سوزنی و بدن اندام را نشان می‌داد (شکل ۳). پرזהای مخروطی شکل بزرگ با آرایشی V مانند در مرز بدن و ریشه اندام جای گرفته بودند. این پرزاها شامل ۵ پرز با اندازه برابر در هر سوی پرزاکتر در بخش انتهایی و روی پرזהای بزرگ جای گرفته بود. رأس پرزاها همگی در راستای خلفی جهت‌گیری داشتند. در بزرگنمایی بیشتر، سلول‌های اپیتلیوم موجود روی سطح پرزاها که سلول‌های طبقه جداسونده اپیتلیوم سطح پرزاها بهشمار می‌روند، صفحاتی با ابعاد و ظاهر نامنظم ایجاد می‌کردند (شکل‌های ۶ و ۷). سطح مخاط زبان در هر سه ناحیه آناتومیکی رأس، بدن و ریشه

ساختار بافتی زبان که اندامی کلیدی در دریافت و بلع غذا در مهره‌داران بهشمار می‌رود با شیوه‌زنگی و عادات غذایی این حیوانات آشکارا سازگاری یافته است. این اندام که بهطور معمول از سه ناحیه آناتومیکی رأس، بدن و ریشه برخوردار است، در گونه‌هایی همچون پرندگان ماهی خوار، با پرزاها سخت و نوک‌تیز پوشیده شده که در راستای خلفی جهت‌گیری شده‌اند. در پرندگان شکارچی، زبان از سطحی سوهان‌مانند برخوردار است که بخش قدامی آن اغلب بسیار ناهموار و خشن شده است. در پرندگانی همچون اردک‌ها بخش قدامی زبان بهدلیل کارکرد زبان در نگهداری ذرات غذایی، قاشقکی شکل بوده و در لبه‌های جانبی خود از دو ردیف ساختار مومنند و هم‌پوشان برخوردار است که همراه با ساختارهایی ورقه‌مانند در دو سوی منقار به پالایش ذرات غذایی کمک می‌کنند (۴). ساختار بافتی زبان در سطح میکروسکوپ نوری و میکروسکوپ الکترونی پویشی در شماری از پرندگان همچون عقاب دم‌سفید (۱۰)، قره‌غاز (۹)، جغد (۱)، شترمرغ (۱۱) و دارکوب (۲) مورد مطالعه قرار گرفته و گوناگونی در ساختار بافتی اندام از دیدگاه وجود یا عدم وجود پرזהای مکانیکی در سطح پشتی اندام و گستردگی و شیوه توزیع آن‌ها؛ شیار زبانی میانی؛ ساختارهای آناتومیکی اختصاصی همچون ریزشیارها که به دریافت و به‌بلع غذا کمک می‌کنند؛ پرזהای مخروطی شکل در حد فاصل نواحی آناتومیکی اندام؛ نوع، شیوه توزیع و آرایش بافتی غدد بزاقی و ... گزارش شده است. با این حال هیچ مطالعه جامعی درباره ساختار بافتی زبان در سطح میکروسکوپ نوری و الکترونی در مرغ مینا در دسترس نیست. هدف از پژوهش حاضر بررسی ساختار بافتی زبان در مرغ مینا در سطح میکروسکوپ نوری و میکروسکوپ الکترونی پویشی و مقایسه نتایج حاصل با ساختار بافتی این اندام در دیگر گونه‌های پرندگان است.

مواد و روش‌ها

۶ مرغ مینای بالغ (۳ نر و ۳ ماده) در پژوهش حاضر مورد استفاده قرار گرفتند. آسان‌کشی با تزریق درون‌صفاقی سدیم پنتوباربیتال با دوز ۱۲۰ میلی‌گرم بر کیلوگرم وزن بدن (۱۴) صورت گرفت. با تشریح دقیق بافتی، زبان به‌طور کامل از حفره‌دهانی خارج شد. جهت مطالعه ساختار زبان بهوسیله میکروسکوپ نوری، نمونه‌های بافتی از نواحی رأس، بدن و ریشه زبان در دمای اتاق در پارافرمالدیید بافر ۱۰ درصد (Merck, pH: 7.3) به مدت ۴۸ ساعت تثبیت شده و سپس با انجام مراحل معمول آمادش بافتی، قالب‌های پارافینه از نواحی بافتی مورد مطالعه تهیه شده و مقاطع بافتی متوالی تهیه شده با استفاده

۹). ریزشیارها به فراوانی و به طور آشکار روی اپیتیلیوم سطح ریشه‌ی اندام یافت شدند (شکل ۸). در هیچ‌یک از نواحی آناتومیکی مورد مطالعه پرز چشایی یافت نشد. یکی از ویژگی‌های منحصر به فرد زبان در مرغ مینا این است که غدد برازی زبانی تنها در ریشه زبان یافت شده و سرتاسر لایه پارین را در این ناحیه از اندام پر می‌کنند (شکل ۱۱). غدد از نوع لوله‌ای آلوئولی منشعب بوده و واحدهای ترشحی که به وسیله الیاف بافت پیوندی در برگرفته شده بودند از پایانه‌های ترشحی سلول‌های بلند استوانه‌ای با سیتوپلاسم گسترده وزیکولی تشکیل شده بودند که بر غشای پایه‌ای ظریف جای داشتند. بدنه و ریشه زبان فاقد هر نوع ساختار غده‌ای بود (شکل‌های ۹ و ۱۰). همه غدد برازی واکنش آشکار PAS مثبت نشان می‌دادند (شکل ۱۲). ویژگی‌های ریخت‌شناختی و ابعاد زبان تفاوت آشکاری در دو جنس نشان نداد.



شکل ۲: میکروگراف الکترونی پویشی از رأس (A) و بدنه زبان (B) در مرغ مینا به نبود پرزهای زبانی در سرتاسر سطح پشتی بدنه زبان توجه شود.



شکل ۴: میکروگراف الکترونی پویشی از سطح پشتی ریشه زبان در مرغ مینا که فاقد پرز زبانی بوده و تنها سلول‌های طبقه جداشونده اپیتیلیوم به شکل ریزفلس بر سطح اندام مشاهده می‌شوند. به روزنه‌های غدد برازی زبانی بر سطح ریشه اندام توجه شود (پیکان‌ها).

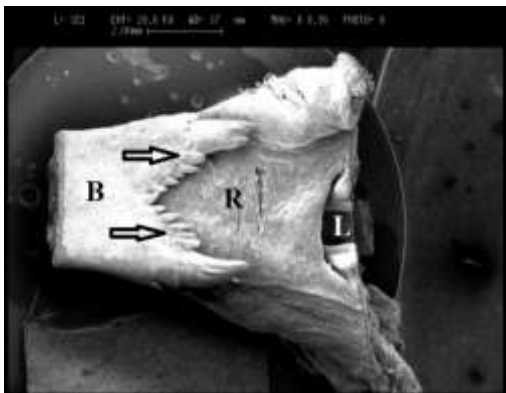
اندام فاقد پرز زبانی بود (شکل‌های ۲، ۳، ۶، ۷ و ۸). ریزشیارهای ظریف در سطح میکروسکوپ الکترونی بر سطح ریشه اندام مشاهده می‌شد (شکل ۸). در سطح میکروسکوپ الکترونی، منافذ غدد برازی زبانی، آشکارا روی سطح پشتی ریشه اندام یافت می‌شد (شکل‌های ۴ و ۵). پرزهای چشایی در هیچ‌یک از نواحی آناتومیکی مورد مطالعه یافت نشد. در سطح میکروسکوپ نوری، سطح زبان در نواحی آناتومیکی رأس و بدنه اندام با اپیتیلیوم سنگفرشی مطابق شاخی و در ناحیه ریشه اندام با اپیتیلیوم سنگفرشی غیرشاخی مفروش شده بود (شکل‌های ۹، ۱۰ و ۱۱). ضخامت اپیتیلیوم در سطح پشتی زبان بدویژه در ناحیه رأسی و ریشه اندام بسیار زیاد بوده و در هر دو ناحیه از لایه شاخی آشکاری برخوردار بود (شکل‌های ۹ و ۱۰). سلول‌های طبقه جداشونده بر سطح اپیتیلیوم پوشاننده اندام به ویژه پیرامون سوراخ مجاری غدد برازی یافت شدند (شکل‌های ۳، ۴، ۵ و ۶).



شکل ۱: میکروگراف الکترونی پویشی از بخش جانبی رأس زبان در مرغ مینا شمار زیادی زایده سوزنی شکل (پیکان‌ها) با تراکم بالا مماس بر بخش قdamی رأس زبان جای گرفته‌اند.

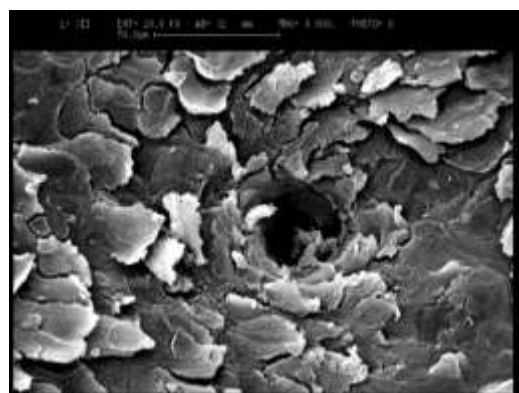


شکل ۳: میکروگراف الکترونی پویشی از زواید متراکم سوزنی شکل (P) و بخش جانبی بدنه زبان (B) به شیار طولی موجود بین بدنه زبان و زواید متراکم سوزنی شکلی که مماس بر سطح جانبی اندام جای گرفته‌اند توجه شود (پیکان سفیدرنگ). سطح پشتی بدنه اندام، فاقد پرز زبانی بوده و سلول‌های سنگفرش‌مانند طبقه جداشونده اپیتیلیوم بر سطح اندام دیده می‌شوند (پیکان سیاهرنگ).

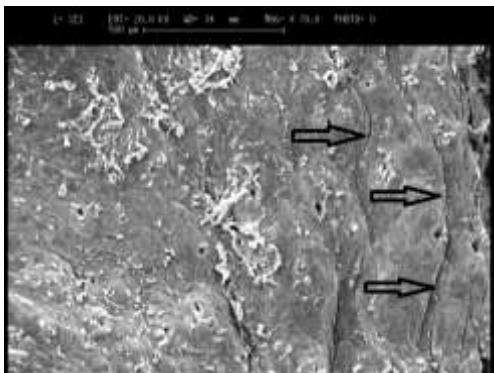


شکل ۶: میکروگراف الکترونی پویشی از سطح پشتی بدن (B) و ریشه (R) زبان و بخش قدامی حفره حنجرهای (L) در مرغ مینا

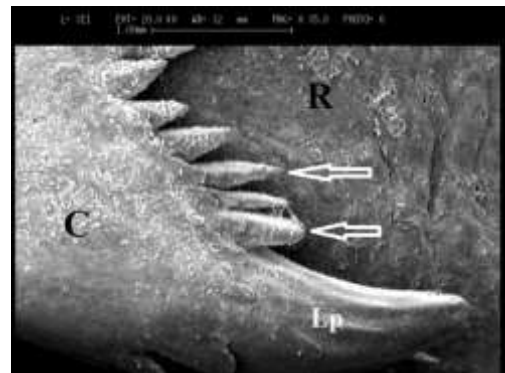
به نبود پرز زبانی بر سطح پشتی بدن و ریشه اندام و ستیغ ۷ مانند پرزهای مخروطی شکل (پیکان‌ها) در مرز بدن و ریشه اندام توجه شود. پرزها سودهی خلفی داشته و دو پرز انتهایی در هر دو نیمه، آشکارا از دیگر پرزها بزرگ‌ترند.



شکل ۵: میکروگراف الکترونی پویشی از روزنه غده بزاقی زبانی بر سطح ریشه زبان در مرغ مینا که با سلول‌های سنتگ‌فرش‌مانند طبقه جداسونده اپیتیلیوم در برگرفته شده است.

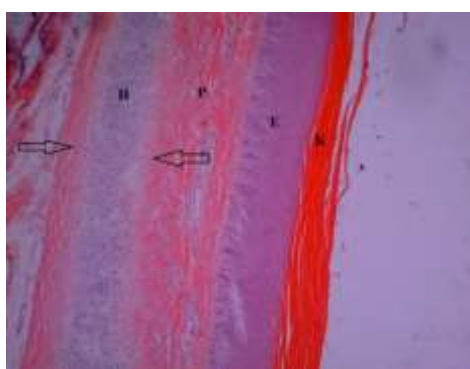


شکل ۸: میکروگراف الکترونی پویشی از سطح پشتی ریشه زبان در مرغ مینا به ریزشیارهای طرفی موجود بر سطح اپیتیلیوم (پیکان‌ها) توجه شود.

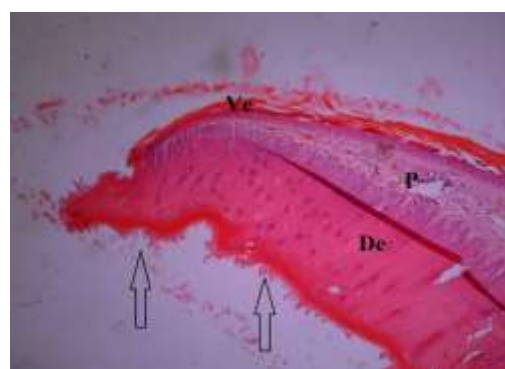


شکل ۷: میکروگراف الکترونی پویشی از بخش جانبی ستیغ پرزهای مخروطی شکل (C) در مرز بدن و ریشه زبان (R) در مرغ مینا

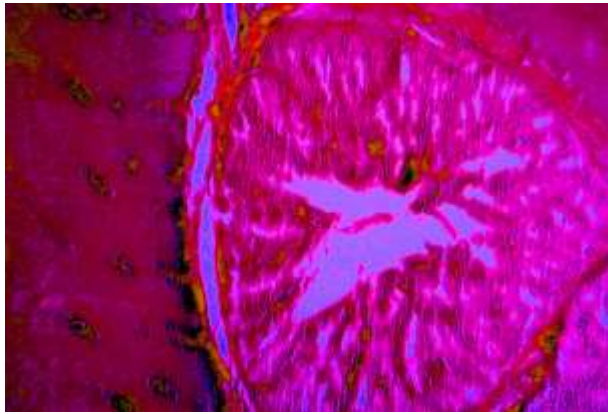
در هر نیمه از ستیغ ۷ مانند پرزهای مخروطی، دو پرز غول‌بیکر انتهایی (Lp) و شماری پرز مخروطی شکل کوچک‌تر (پیکان‌ها) یافت می‌شوند که همگی در راستای خلفی سودهی شده‌اند. به نبود پرزهای زبانی بر ریشه اندام توجه شود.



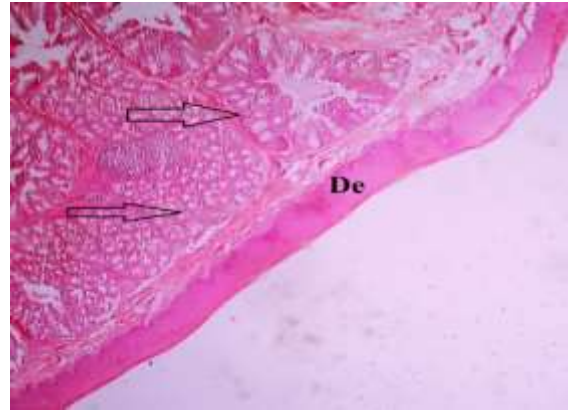
شکل ۱۰: میکروگراف نوری از ناحیه بدن زبان در مرغ مینا لایه شاخی (K)، اپیتیلیوم سطح پشتی زبان (E)، لایه پارین (P) و غضروف دستگاه لامی (H) که از دو سو به‌وسیله ضربع غضروفی (پیکان‌ها) در بر گرفته شده است. رنگ‌آمیزی هماتوکسیلین و ائوزین. H&E $\times 40$.



شکل ۹: میکروگراف نوری از مقطع عرضی رأس زبان در مرغ مینا به ضخیم‌بودن آشکار اپیتیلیوم سطح پشتی زبان (De) و سلول‌های طبقه جداسونده (پیکان‌ها) توجه شود. اپیتیلیوم در سطح شکمی زبان (Ve) از ضخامت چندانی برخوردار نیست. پارین (P) در ناحیه رأسی زبان قادر غدد بزاقی زبانی است. رنگ‌آمیزی هماتوکسیلین و ائوزین. H&E $\times 40$.



شکل ۱۲: میکروگراف نوری از غده بزاقی موجود در ریشه زبان در مرغ مینا
رنگ‌آمیزی: PAS. $\times 100$



شکل ۱۱: میکروگراف نوری از ناحیه ریشه زبان در مرغ مینا
اپیتلیوم سطح پشتی زبان (De) از نوع سنگفرشی مطبق غیرشاخی است. پارین به طور سرتاسری به وسیله غدد بزاقی زبانی (پیکان‌ها) انباسته شده است. رنگ‌آمیزی هماتوکسیلین و آئوزین. H&E $\times 40$.

فیزیولوژیکی اندام نظیر کمک به حرکت غذا، هدایت غذا در راستای خلفی و به سمت بخش‌های پایین‌تر در دستگاه گوارش و ممانعت از بیرون‌ریخته شدن مواد غذایی از دهان کمک می‌کنند (۱۴). به عنوان نمونه در پرندگان ماهی خوار که از زبان خود برای به حرکت درآوردن غذا (چرخاندن آن و) در حفره دهانی استفاده می‌کنند زبان با پرزاوهای سخت و نوک‌تیزی در راستای خلفی پوشیده شده و در پرندگانی که غذا را مدته در دهان نگه می‌دارند (نظیر اردک) بخش قدامی زبان، ساختاری قاشق‌کی شکل ایجاد کرده که در لبه‌های جانبی از دو ردیف ساختار مومنتد هم‌پوشان برخوردار است. این ساختارهای مومنند در هم کاری با ساختارهای ورقه‌ای شکلی که در منقارها یافت می‌شوند در راستای پالایش مواد غذایی ایفای نقش می‌کنند (۱۰، ۱۴). یافته‌های پژوهش حاضر درخصوص وجود زواید سوزنی شکل در بخش قدامی زبان با یافته‌های حاصل از مطالعه ساختار زبان دارکوب رژانی و بخش قدامی زبان در فنج گورخری در سطح میکروسکوپ الکترونی پویشی هم‌خوانی دارد. در دوسوی بخش قدامی زبان در دارکوب رژانی، شماری زایده مخروط‌مانند وجود داشته و در بخش خلفی رأس زبان شمار زیادی زواید سوزنی شکل یافت می‌شوند که رأس آن‌ها در راستای خلفی سودهی شده است (۲). وجود زواید سوزن‌مانند در بخش قدامی زبان در پرندگان در فنج گورخری نیز گزارش شده است (۴). این زواید ممکن است به پرندگان در هدایت مواد غذایی در راستای خلفی به سمت حفره دهانی حلقوی تسهیل در بلع و پیشگیری از بیرون‌ریخته شدن مواد غذایی از حفره دهانی کمک کنند. نتایج حاصل از مطالعه حاضر نشان می‌دهند که شیار میانی آشکار در سطح پشتی در هیچ‌یک از نواحی زبان در مرغ مینا یافت نمی‌شود. شیار میانی، فرورفتگی میانی موجود روی سطح پشتی

بحث

ساختار زبان و منقار در پرندگان به دلیل گوناگونی در سبک زندگی، تنوعی چشمگیر نشان می‌دهد. شکل زبان در پرندگان، تفاوت‌های آشکار گونه‌ای نشان داده و به طور معمول با شکل بخش پایینی منقار هم‌خوانی دارد. در بسیاری از گونه‌های پرندگان، زبان، اندامی مثلثی شکل است که بخش پایینی منقار را به تمامی پر می‌کند (۱۴). زبان در دارکوب، اندامی لوله‌ای شکل (۲) بوده و در پرندگان آبزی هم‌چون اردک و غاز اندامی کشیده و مسطح است (۷، ۱۴). در قره‌غاز؛ زبان ساختاری کوچک و قارچ‌مانند داشته که تنها از بافت پیوندی تشکیل شده است (۹). ویژگی‌های ماقرکوسکوبی زبان در شترمرغ همچون نسبت اندازه آن به اندازه منقار و شکل آن، نوعی تحلیل‌رفتگی ریخت‌شناختی را در این اندام نشان می‌دهد (۱۱). نتایج حاصل از مطالعه حاضر نشان می‌دهند که زبان در مرغ مینا در نواحی رأس و بدنه اندام، ساختاری کشیده بوده و در ناحیه ریشه از ظاهری پهن و مثلثی شکل برخوردار است. به بیان دیگر نواحی رأس و بدنه زبان در مرغ مینا به ساختار زبان در اردک و غاز شباهت داشته اما ریشه اندام که در خلف پرزاوهای مخروطی شکل جای گرفته هم‌چون اغلب گونه‌های پرندگان از ظاهری مثلثی شکل برخوردار است. نتایج حاصل از پژوهش حاضر هم‌چنین نشان می‌دهند که در زبان مرغ مینا شمار زیادی زایده سوزنی شکل با تراکم بالا در دو سوی رأس و بخش قدامی بدنه زبان جای گرفته‌اند. این زواید از اندازه‌های به نسبت برابر برخوردار بوده، سودهی قدامی داشته و مماس بر سطح زبان جای گرفته‌اند. ساختارهای ضمیمه‌ای در سطح پشتی زبان در برخی گونه‌های پرندگان یافت شده و به سازگاری هرچه‌بیش‌تر زبان با کارکردهای

صورت وجود در گونه‌های مختلف تفاوت‌های آشکار نشان می‌دهد. بهنحوی که در بیشتر پرندگان، پرزاها مخروطی شکل به ناحیه آناتومیکی مرز بدن و ریشه زبان محدود بوده اما در پرندگانی هم‌چون شاهین، دلیجه معمولی و جعد در ناحیه‌ای بسیار گسترده بین رأس و ریشه زبان توزیع شده‌اند (۱، ۳). آرایش آناتومیکی پرزاها نیز تنوعی آشکار در پرندگان نشان می‌دهد بهنحوی که پرزاها در ماکیان و غاز به‌شکل ریدیفی عرضی (۷، ۸) و در عقاب دم‌سفید به‌شکل حرف ۷ با آرایشی هم‌گرا به‌سمت خط میانی (۱۰) استقرار یافته‌اند. نتایج پژوهش حاضر نشان می‌دهند که آرایش آناتومیکی پرزاها مخروطی شکل در زبان مرغ مینا به این الگو در زبان عقاب دم‌سفید شباht داشته و با آرایش پرزاها مخروطی شکل در زبان ماکیان و غاز تفاوت دارد. تفاوت در اندازه، میزان گستردگی، جایگاه استقرار و آرایش پرزاها مورد اشاره را می‌توان افزون بر تفاوت گونه‌ای و ویژگی‌های ژنتیکی به تفاوت در نوع تغذیه و عادات تغذیه‌ای، در پرندگان مورد مطالعه نسبت داد چراکه ستیغ این پرزاها به انتقال مواد غذایی خورده‌شده در راستای خلفی به‌سوی مری کمک کرده و هم‌زمان، از بازگشت محتویات به‌حفره دهانی حیوان پیشگیری می‌کند (۱۰). نتایج پژوهش حاضر هم‌چنان نشان داد که در زبان مرغ مینا پرزاها مخروطی شکل بزرگی با آرایشی ۷ مانند در مرز بدن و ریشه اندام جای گرفته‌اند. این پرزاها شامل ۵ پرز با اندازه برابر در هر سوی پرزی میانی و دو پرز بزرگ در دو انتهای آزاد ساختار ۷ مانند هستند. سه پرز کوچک‌تر در بخش انتهایی و روی پرزاها بزرگ جای گرفته‌اند. رأس پرزاها همگی در راستای خلفی سوده‌ی شده‌اند. در بزرگنمایی بیش‌تر، سلول‌های اپیتلیوم موجود روی سطح پرزاها که سلول‌های طبقه‌ی جاذشونده اپیتلیوم سطح پرزاها به‌شمار می‌روند صفحاتی با ابعاد و ظاهر نامنظم ایجاد کرده‌اند. پرزاها مخروطی موجود بین بدن و ریشه زبان تفاوت‌های چشمگیری از دیدگاه تعداد، شیوه توزیع، میزان تکامل و آرایش آناتومیکی در گونه‌های مختلف پرندگان نشان می‌دهند (۱۴). میزان تکامل این پرزاها در گونه‌های مختلف پرندگان آشکارا از عادات غذایی اثر پذیرفته و ستیغ پرزاها یادشده در پرندگانی هم‌چون عقاب دم‌سفید و جعد که از ماهی و حیوانات کوچک تغذیه می‌کنند از تکاملی چشم‌گیر برخوردار بوده و در پرندگانی هم‌چون دارکوب و شترمرغ که از حشرات یا گیاهان تغذیه می‌کنند وجود ندارند (۱، ۲، ۱۰، ۱۱). یافته‌های پژوهش حاضر در مورد متكامل بودن ستیغ پرزاها مخروطی در مرز بدن و ریشه زبان در مرغ مینا به یافته‌های دیگر پژوهشگران در عقاب دم‌سفید و جعد شباht دارد. مرغ مینا پرنده‌ای همه‌چیزخوار بوده و از میوه‌ها، دانه‌ها و سایر بخش‌های گیاهان و هم‌چنان حشرات و جانوران کوچک تغذیه می‌کند. تکامل یافته‌بودن پرزاها مخروطی شکل موجود در مرز بدن و ریشه زبان در این گونه حیوانی با وجود همه‌چیزخوار بودن ممکن است از دلایل ژنتیکی برخوردار باشد. پژوهش‌های بیش‌تری در حوزه‌های گوناگونی هم‌چون ژنتیک، تغذیه، بوم‌شناسی و ... نیاز است تا در این خصوص بتوان با قاطعیت بیش‌تری اظهار نظر کرد. پژوهش‌ها هم‌چنان نشان داده‌اند که گسترده‌گی پرزاها مخروطی شکل نیز در

- Folia Anatomica Japonica. 86: 31-35. <https://doi.org/10.2535/ofaj.86.31>.
3. Emura, S., Okumura, T. and Chen, H., 2008. Scanning electron microscopic study of the tongue in the peregrine falcon and common kestrel. *Okajimas Folia Anatomica Japonica*. 85: 11-15. <https://doi.org/10.2535/ofaj.85.11>.
 4. Fatahian Dehkordi, R., Parchami, A. and Bahadoran, S., 2010. Light and electron microscopic study of the tongue in the zebra finch (*Carduelis Carduelis, Passeriformes: Fringillidae*). *Slovenian Veterinary Research*. 47(4): 139-144.
 5. Homberger, D.G. and Meyers, R., 1989. Morphology of the lingual apparatus of the domestic chicken Gallus gallus, with special attention to the structure of the fasciae. *American Journal of Anatomy*. 186: 217-257. <https://doi.org/10.1002/aja.1001860302>.
 6. Iwasaki, S., 1992. Fine structure of the dorsal lingual epithelium of the little tern, sterna-albifrons pallas (aves, lari). *Journal of Morphology*. 212: 13-26. <https://doi.org/10.1002/jmor.1052120103>.
 7. Iwasaki, S., Asami, T. and Chiba, A., 1997. Ultrastructural study of the keratinisation of the dorsal epithelium of the tongue of Middendorff's bean goose, *Anser fabalis middendorffii* (Anseridae, Anatidae). *Anatatomical Record*. 247: 147-163. [https://doi.org/10.1002/\(SICI\)1097-0185\(199702\)247:2<149:AID-AR1>3.0.CO;2-T](https://doi.org/10.1002/(SICI)1097-0185(199702)247:2<149:AID-AR1>3.0.CO;2-T).
 8. Iwasaki, S. and Kobayashi, K., 1986. Scanning and transmission electron microscopy studies on the lingual dorsal epithelium of chickens. *Kaibogaku Zasshi*. 61(2): 83-96.
 9. Jackowiak, H., Andrzejewski, W. and Godynicki S., 2006. Light and scanning electron microscopic study of the tongue in the cormorant *Phalacrocorax carbo* (Phalacrocoracidae, Aves). *Zoological Science*. 23: 161-167. <https://doi.org/10.2108/zsj.23.161>.
 10. Jackowiak, H. and Godynicki, S., 2005. Light and scanning electron microscopic study of the tongue in the white-tailed eagle (*Haliaeetus albicilla*, Accipitridae, Aves). *Annals of Anatomy*. 187: 197-222. <https://doi.org/10.1016/j.aanat.2004.11.003>.
 11. Jackowiak, H. and Ludwig, M., 2008. Light and scanning electron microscopic study of the structure of the ostrich (*Struthio camelus*) tongue. *Zoological Science*. 25(2): 188-194. <https://doi.org/10.2108/zsj.25.188>.

بودن اپیتیلیوم پوشاننده سطح پشتی اندام با یافته‌های پژوهش حاضر هم‌خوانی دارد. یافته‌های پژوهش حاضر هم‌چنین نشان می‌دهند که بر سطح پشتی ریشه زبان در مرغ مینا ریزشیارهایی به‌طور آشکار یافت می‌شوند. وجود ریزشیار بر سطح ریشه زبان در پستانداران و پرنده‌گان گزارش شده و گفته می‌شود این ریزشیارها به افزایش سطح جهت افزایش میزان چسبندگی موکوس به اپیتیلیوم سطح زبان کمک می‌کنند (۱۱). از یافته‌های منحصر به‌فرد در پژوهش حاضر محدود بودن گستره آناتومیکی غدد برازی لوله‌ای آلوئولی PAS مثبت به ناحیه ریشه زبان در مرغ مینا است. غدد برازی تفاوت‌های گونه‌ای چشمگیری در پرنده‌گان نشان می‌دهند. این غدد در پرنده‌گانی که دانه‌خوارند، رشدیافته بوده؛ در پرنده‌گان شکارچی کمتر تکامل یافته‌اند و در قره‌غاز وجود ندارند (۹، ۱۴). در بیش‌تر پرنده‌گانی که تاکنون مورد مطالعه قرار گرفته‌اند غدد برازی در زبان دردو گروه قدامی و خلفی جای گرفته و هیچ گونه پیوستار آناتومیکی بین آن‌ها وجود ندارد. شترمرغ از این‌منظور استثنای بوده و در این گونه حیوانی لایه پارین در مخاط زبان با غدد مخاطی پر شده و مجاری این غدد در هر دو سطح پشتی و شکمی زبان باز می‌شوند (۱۱). در فنج گورخری غدد برازی لوله‌ای آلوئولی مرکب زیر کل سطح اپیتیلیوم پشتی زبان یافت شده و مجاری آن‌ها در سطح پشتی اندام باز می‌شود اما سطح شکمی اندام فاقد هر گونه ساختار پنهانی است (۴). مثبت بودن واکنش غدد برازی در رنگ آمیزی PAS در پژوهش حاضر نشان می‌دهد که براز در مرغ مینا همچون دیگر گونه‌های پرنده‌گان سرشار از گلیکوبروتنین است که افزون بر لغزندۀ کردن غذای خورده‌شده در راستای تسهیل بلع، از غشای مخاطی مجرای گوارشی فوقانی نیز محافظت می‌کند.

تشکر و قدردانی

از واحد میکروسکوپ الکترونی پویشی دانشکده علوم دانشگاه شیراز جهت همکاری در انجام این پژوهش قدردانی می‌شود.

منابع

1. Emura, S. and Chen, H., 2008. Scanning Electron Microscopic Study of the Tongue in the Owl (*Strix uralensis*). *Anatomia histologia embryologia*. 37: 475-478. <https://doi.org/10.1111/j.1439-0264.2008.00871.x>.
2. Emura, S., Okumura, T. and Chen, H., 2009. Scanning electron microscopic study of the tongue in the Japanese Pygmy Woodpecker (*Dendrocopos kizuki*). *Okajimas*

12. Kadhim, K.K., Hameed, A.L.T. and Abass, T.A., 2013. Histomorphological and histochemical observations of the Common Myna (*Acridotheres tristis*) tongue. International Scholarly Research Notices. 1: 1-4. <https://doi.org/10.1155/2013/980465>.
13. Kobayashi, K., Kumakura, M., Yoshimura, K., Inatomi, M. and Asami, T., 1998. Fine structure of the tongue and lingual papillae of the penguin. Archives of Histology and Cytology. 61(1): 37-46. <https://doi.org/10.1679/aohc.61.37>.
14. Whittow, G.C., 2000. Sturkie's Avian Physiology. Academic press, New York, London.